

# اثر جداساز پایه در پاسخ لرزه‌یی مخازن بتی هواپی

## تحت اثر همزمان مؤلفه‌های انتقالی و دورانی

### زلزله‌های حوزه‌های دور و نزدیک گسل

لیلا کلانی ساروکلابی (استادیار)

دانشکده‌ی فنی و هندسی، مؤسسه‌ی آموزش عالی طبی، بابل

لیلا خان محمدی (استادیار)

دانشکده‌ی فنی و هندسی، دانشگاه پام نور، تهران

بهرام نوابی نیا\* (استاد)

دانشکده‌ی هندسی عمران، دانشگاه صنعتی نوشیروانی، بابل

در پژوهش حاضر، رفتار مخازن بتی هواپی دارای شافت مرکزی و جداساز پایه‌یی لاستیکی هسته‌ی سربی، تحت تحریک همزمان مؤلفه‌های انتقالی و دورانی زلزله‌های حوزه‌های نزدیک و دور از گسل با استفاده از تحلیل تاریخچه‌ی زمانی غیرخطی با احتساب اندرکنش آب و مخزن بررسی شده و نتایج نشان داده است که وجود جداساز پایه در تمامی حالت‌های برسی شده سبب کاهش حدود ۴۰ تا ۶۰ درصدی برش پایه و ۶۰ تا ۹۰ درصدی تنش بلندشدنگی می‌شود. با افزایش حجم مخزن، اثر کاهنده‌ی جداساز در تنش بلندشدنگی مخازن کاهش می‌یابد، در حالی که عملکرد جداساز لرزه‌یی در کاهش برش پایه‌یی مخازن هواپی با افزایش حجم مخزن بهبود خواهد یافت. همچنین، افزایش شتاب زاویه‌یی مؤلفه‌ی دورانی زلزله‌های حوزه‌ی نزدیک، سبب تضعیف حدود ۳۰ تا ۵۰ درصدی اثر کاهشی جداساز پایه در پاسخ لرزه‌یی مخازن می‌شود. بنابراین، عدم اعمال مؤلفه‌ی دورانی زلزله در تحلیل مخازن واقع در نواحی نزدیک گسل که پتانسیل مؤلفه‌ی دورانی زلزله‌ها قابل توجه است، موجب بزرگنمایی اثر کاهشی جداساز پایه در نتایج می‌شود.

**واژگان کلیدی:** مخازن بتی هواپی، اندرکنش آب و سازه، جداساز لاستیکی هسته‌ی سربی، زلزله‌های حوزه‌های نزدیک و دور از گسل، مؤلفه‌های انتقالی و دورانی زلزله.

leila.kalani.s@gmail.com  
l.khanmohammadi@pnu.ac.ir  
navayi@nit.ac.ir

## ۱. مقدمه

ضروری به نظر می‌رسد. روش مرسوم طراحی لرزه‌یی مخازن، می‌شوند بر افزایش ظرفیت سازه است، که در آن، ایجاد ظرفیت باربری جانبی در مخازن با افزایش مقاومت و تأمین شکل‌بندی صورت می‌گیرد. در توجهه‌ی اجرای روش اخیر، ابعاد اعضاء سازه‌ی و اتصال‌ها افزایش می‌یابد و برای تحمل بارهای جانبی لازم است اعضاء باربر جانبی در نظر گرفته شوند. همچنین در روش اخیر، به دلیل تغییرشکل‌های غیرخطی در اعضاء سازه‌ی، امکان بروز خرابی در آن‌ها و موقع آسیب در اعضاء غیرسازه‌ی و تجهیزات به دلیل تغییرشکل‌های زیاد وجود دارد. بنابراین مخازن ساخته شده براساس روش‌های مرسوم طراحی، مقدار شتاب قابل توجهی را هنگام وقوع زلزله‌های شدید تجربه می‌کنند. با پیشرفت دانش فنی و تغییر فلسفه‌ی طراحی سازه‌ها، فتاوری‌هایی همچون کنترول لرزه‌یی غیرفعال سازه‌ها استفاده می‌شود که از جمله‌ی آن‌ها می‌توان به جداسازی لرزه‌یی سازه‌ها اشاره کرد که در چند دهه‌ی اخیر بسیار به آن توجه شده است. با استفاده از جداسازی لرزه‌یی می‌توان با کاهش نیاز لرزه‌یی، پاسخ سازه را در محدوده‌یی این قرار داد، که یک راه حل اقتصادی و عملی

مخازن هواپی ذخیره‌ی آب از جمله سازه‌های با اهمیت بسیار زیاد در هنگام وقوع زلزله محسوب می‌شوند، به طوری که ضریب اهمیت آن‌ها در استاندارد ۲۸۰۰ ایران، بیشینه بوده و برابر ۱/۴ در نظر گرفته شده است. نقش بسیار مهمی که در زمینه‌ی آب رسانی برای مصارف شرب، بهداشت و خاموش کردن آتش بعد از وقوع زلزله‌های شدید از سازه‌های مذکور موردنانتظار است، لزوم عملکرد مطمئن و بیوقفي آن‌ها را روشن می‌سازد. همچنین با توجه به لرزه‌خیز بودن کشور ایران، وجود آب در تراز بالاتر از فوندانسیون در مخازن، وجود اندرکنش بین آب و سازه و نیز ناشناخته بودن آثار ناشی از تحریک هم‌زمان مؤلفه‌های انتقالی و دورانی حرکت زمین هنگام زلزله در نواحی دور و نزدیک گسل، بررسی دقیق رفتار این‌گونه سازه‌ها در برابر زلزله با استفاده از روش تحلیل دینامیکی تاریخچه‌ی زمانی با وجود پیچیدگی‌های موجود

\* نویسنده مسئول

تاریخ: دریافت ۲۳، ۱۳۹۹/۹/۲۳، اصلاحیه ۱۲/۲۳، ۱۳۹۹، پیاپی ۱/۲۱، ۱۴۰۰/۱/۲۱

DOI:10.24200/J30.2021.57110.2882

به روش لاغرانزی - لاغرانزی و اعمال اثر هم زمان مؤلفه های انتقالی و دورانی حرکت زمین به هنگام زلزله انجام دادند و با بررسی و مقایسه پاسخ لرزه بی مخازن با بدون اعمال مؤلفه دیوانی زلزله، دریافتند که مؤلفه های دورانی در شرایط خاص می توانند آثار قابل توجهی در پاسخ مخازن داشته باشند.<sup>[۲۵، ۲۶]</sup>

در گذشته، استفاده از روش جداسازی پایه در ساختمان ها و پل ها به طور مسترد به بررسی شده است. انواع روش های طراحی مرتبط با جداسازی لرزه بی ساختمان ها توسط کلی<sup>[۳]</sup> (۱۹۹۷)،<sup>[۲۸]</sup> کاملاً شرح شده است. با این حال مطالعات محدودی درخصوص ارزیابی رفتار لرزه بی مخازن جداسازی شده یافته می شود. کیم و لی<sup>(۱۹۹۵)</sup><sup>[۲۹]</sup> با مطالعه ای آزمایشگاهی بر روی مخازن مایع جداسازی شده به وسیله ای جداسازه های لاستیکی، کاهش قابل توجهی را در پاسخ دینامیکی مخازن مشاهده کرده اند. شنون<sup>۵</sup> و هامپتون<sup>۶</sup> (۱۹۹۹)، نیز در بررسی پاسخ لرزه بی مخازن هوابی با استفاده از مدل گسسته ای سه درجه آزادی، از سیستم جداسازی کشسان خطی استفاده و دیواره های مخزن را صلب فرض کردند. علاوه بر این، عملکرد جداساز در جهت قائم را صلب در نظر گرفتند و نتایج مخزن جداسازی شده را با حالت بدون جداساز مقایسه کردند و دریافتند که جداسازی پایه، نقش مؤثری در کاهش پاسخ لرزه بی مخازن هوابی به خصوص در حجم های کوچک تر دارد.<sup>[۳۰]</sup> شیرمالی<sup>۷</sup> و جانکید<sup>۸</sup> (۲۰۰۳)،<sup>[۳۱]</sup> در بررسی رفتار لرزه بی مخازن هوابی جداسازی شده تحت تحریک واقعی زلزله با استفاده از یک مدل چهار درجه آزادی، سیال داخل مخزن را به صورت حرم های متراکز مدل و عملکرد جداسازها را در جهت قائم صلب فرض کردند و کاهش قابل توجه پاسخ مخازن را نتیجه گرفتند. مسلمی و کیانوش (۲۰۱۶)<sup>[۳۲]</sup> نیز مطالعاتی درخصوص به کارگیری جداساز هسته ای سربی در مخازن بتی هوابی انجام دادند و با لحاظ جداساز در تراز اتصال پایه مخزن به فونداسیون و نیز در محل اتصال پایه به مخزن ذخیره و با اعمال شتاب افقی زلزله به بررسی پاسخ دینامیکی خطی مخازن هوابی بتی پرداختند و دریافتند که استفاده از سیستم های کنترل فعل می تواند نقش بسیاری در کاهش پاسخ مخازن داشته باشد. علاوه بر این، تعداد و محل قرارگیری جداسازها نیز می تواند در پاسخ مخازن تأثیرگذار باشد.

مروری بر مطالعات پیشین نشان می دهد که تحلیل دینامیکی مخازن هوابی بتی مجدهز به جداساز پایه با درنظر گرفتن اثر هم زمان مؤلفه های انتقالی و دورانی حرکت زمین در زلزله های حوزه های دور و نزدیک تاکنون بررسی نشده است. در تیجه در پژوهش حاضر، ابتدا مؤلفه دیوانی حرکت زمین با استفاده از مؤلفه های انتقالی ثبت شده برای زلزله های حوزه های دور و نزدیک، با استفاده از قوانین کلاسیک توری کشسانی و توری انتشار امواج تولید شده است. سپس با اعمال هم زمان مؤلفه های انتقالی و دورانی زلزله، تأثیر حضور جداساز پایه در پاسخ لرزه بی مخازن بتی هوابی بررسی شده است. همچنین به منظور مدل سازی جداساز پایه، مدل معادل ساده شده بی براساس مدل سه بعدی پیشنهادی نوشتار مسلمی و کیانوش (۲۰۱۶)<sup>[۳۳]</sup> ارائه شده است.

## ۲. روش پژوهش

هدف از پژوهش حاضر، بررسی تأثیر جداساز پایه در رفتار لرزه بی مخازن بتی هوابی دارای شافت مرکزی تحت تحریک هم زمان مؤلفه های انتقالی و دورانی زلزله های حوزه های نزدیک و دور از گسل است. در بخش کنونی، روش پژوهش به تفصیل ارائه شده است. بدین منظور ابتدا روش استخراج مؤلفه دیوانی زلزله از مؤلفه های انتقالی آن ارائه و سپس مدل مخزن، سیال و جداساز مطالعه معرفی شده است. از آنجایی که هدف اصلی پژوهش حاضر، بررسی اثر جداساز پایه در پاسخ مخازن

برای کاهش آسیب های لرزه بی سازه است.<sup>[۱]</sup> از طرف دیگر، بررسی ها نشان می دهد که تفاوت های قابل ملاحظه بیین پاسخ های لرزه بی سازه در مجاورت گسل های مسبب زلزله و نواحی دور از گسل وجود دارد که عمدها ناشی از تغییرات در محتویات بسامدی شتاب زمین، مکانیزم گسلش، وجود حرکات های بالس گونه در تاریخچه بی رزمانی جایه جایی و سرعت زمین در زلزله های مذکور است.<sup>[۲]</sup> وجود جایه جایی های بزرگ در زلزله های نزدیک گسل می تواند سبب ایجاد اختلال در عملکرد سیستم های جداسازی شود. همچنین با توجه به ویژگی های زمین ساختی و تکتونیکی و تحلیل آماری زلزله های منطقه، ممکن است برخی از نواحی لرزه بی مستعد ایجاد مؤلفه های دورانی قابل توجهی باشند که این خود می تواند در نواحی دور و نزدیک گسل سبب ایجاد تغییراتی در عملکرد بهینه و اقتصادی جداساز شود.

یکی از مسائل مهم در تحلیل دینامیکی سازه ها، بررسی اثر هم زمان مؤلفه های انتقالی و دورانی حرکت زمین در پاسخ آن هاست که به این مسئله در آینه نامه های طراحی لرزه بی سازه ها در برابر زلزله کمتر توجه شده است؛ که علم اصلی آن کوچک بودن دامنه ای ارتعاش مؤلفه های دورانی، نبود امکان ثبت آن ها با استفاده از دستگاه های استاندارد لرزه نگاری و نیز کوچک انگاشته شدن تأثیر آن ها در سازه هاست. مشکلات ثبت مؤلفه های دورانی جنبش زمین با دستگاه های استاندارد لرزه نگاری موجب شده است تا به پژوهش در زمینه تولید مؤلفه های ذکر شده با استفاده از بر مبنای استفاده از معادله کلاسیک نظریه کشسانی بین حرکت انتقالی داخل صفحه و دوران عمود بر صفحه؛ ۱. استخراج مؤلفه دیوانی کشسانی در زمینه تولید مؤلفه های دورانی موج موجود با در روش کلی پرداخته شود؛ ۲. بر مبنای استفاده هم زمان از معادلات کلاسیک نظریه کشسانی و نظریه انتشار امواج. روش اول توسط نیومارک (۱۹۶۹)،<sup>[۳۴]</sup> مطرح شد و بعدها با توسعه روش نیومارک، سه روش برای برآورد مؤلفه دیوانی بر حسب مؤلفه های انتقالی معرفی شدند، که شامل: روش های مشتق زمانی، تفاضل محدود و زمین سنجی<sup>۱</sup> بودند.<sup>[۳۵]</sup> در روش های اخیر که از روش نیومارک نتیجه شده اند، سرعت ظاهری امواج، ثابت فرض می شود و تفاوتی در نحوه بودست آوردن مؤلفه های گهواره بی و پیچشی زلزله وجود ندارد. در روش دوم، که توسط پژوهشگران مختلفی،<sup>[۳۶-۴۰]</sup> استفاده شده است، از معادلات نظریه کشسانی و نظریه انتشار امواج به طور هم زمان استفاده شده و علاوه بر سرعت ظاهری امواج، زاویه ای موج حادث نیز در برآورد مؤلفه های پیچشی و گهواره بی مدنظر قرار گرفته است. با وجود این، در روش آن ها سرعت امواج و زاویه ای موج حادث مستقل از بسامد در نظر گرفته شده است. هانگ نان لی و همکاران (۲۰۰۴)،<sup>[۳۷]</sup> با درنظر گرفتن سرعت و زاویه ای موج حادث وابسته به بسامد به تولید مؤلفه های دورانی حرکت زمین پرداختند و نشان دادند که درنظر گرفتن واستگی بسامدی حرکت امواج می تواند تغییراتی را در تاریخچه زمانی مؤلفه دیوانی ایجاد کند.

مطالعات اولیه در زمینه تحلیل لرزه بی مخازن زمینی مکعبی و محاسبه ای نیروهای هیدرودینامیک در توسط هاوسمر (۱۹۶۳)،<sup>[۳۸]</sup> انجام و الگوهای مشکل از جرم و فن برای درنظر گرفتن آثار ضربه و نوسان ناشی از حرکت مایع درون مخزن پیشنهاد و روابط نظری ارائه شده است. پس از آن مطالعات متعددی در مورد مخازن مذکور و با درنظر گرفتن مدل های اصلاح شده مشکل از جرم و فن صورت گرفته است که به طور خلاصه توسط داگانگون<sup>۲</sup> و همکارش (۲۰۰۸)،<sup>[۳۹]</sup> ارائه و مقایسه شده اند. با پیشرفت تکنولوژی و استفاده از نرم افزارهای پیشرفته ای اجراء محدود با قابلیت تحلیل غیرخطی، پژوهشگران بسیاری به تحلیل دینامیکی خطی و غیرخطی انواع مختلف مخازن زمینی و هوابی با درنظر گرفتن آثار اندرکنش آب و مخزن و همچنین خاک و مخزن توجه کرده اند.<sup>[۴۰-۴۵]</sup> کلانی<sup>۳</sup> و همکاران، مطالعاتی در زمینه تحلیل دینامیکی مخازن هوابی آب با درنظر گرفتن اندرکنش آب و سازه

که در آن‌ها،  $K = \alpha/\beta$  و  $G = \alpha/\beta$  و  $\theta_C = \arcsin(\beta/\alpha)$  بوده و  $\phi_{gy}(t) = (i\omega/C_x)w = (\sqrt{e^{\frac{\pi}{\tau}t}})(\omega/C_x)(R_w \cdot e^{i\theta_w}) = ((\omega/C_x)R_w)(e^{(\frac{\pi}{\tau}+\theta_w)i})$  را به شکل مختلط و به صورت رابطه‌ی ۵ بازنویسی کرد:

$$\phi_{gy}(t) = (i\omega/C_x)w = (\sqrt{e^{\frac{\pi}{\tau}t}})(\omega/C_x)(R_w \cdot e^{i\theta_w}) = ((\omega/C_x)R_w)(e^{(\frac{\pi}{\tau}+\theta_w)i}) \quad (5)$$

که در آن،  $R_w$  دامنه‌ی بسامدی مؤلفه‌ی قائم انتقالی و  $\theta_w$  فاز موج در بسامد مورد نظر هستند که از طیف محتوای بسامدی مؤلفه‌ی انتقالی  $w$  به دست می‌آیند. رابطه‌ی اخیر همچنین نشان می‌دهد که طیف مؤلفه‌ی دورانی، دامنه‌ی برابر با  $(\omega/C_x)R_w$  دارد و اختلاف فاز آن‌ها با مؤلفه‌ی انتقالی  $w$  برابر با  $\pi/2$  است. بنابراین با استفاده از تبدیل فوریه‌ی گستته، طیف دامنه و فاز بسامدی مؤلفه‌های انتقالی محاسبه و سپس مقدار  $G$  مربوط به هر بسامد تعیین می‌شود. با جایگذاری  $x = \sin \theta$ ، مقدار  $G$  در روابط ۳ و ۴ و حل آن‌ها، مقدار  $C_x = \beta / \sin \theta$  برای بسامد مورد نظر محاسبه می‌شود. ظاهری امواج از رابطه‌ی  $C_x = \beta / \sin \theta$  و درنهایت با تبدیل عکس فوریه، تاریخچه‌ی زمانی مؤلفه‌ی ذکر شده به دست می‌آید.

## ۲.۲. مدل اجزاء محدود مخزن، سیال و جداساز لرزه‌بی

در پژوهش حاضر، مخازن در دو حجم متفاوت  $500 \text{ m}^3$  و  $1000 \text{ m}^3$  در سه وضعیت خالی، نیمه‌پر و پر یکباره با جداساز و بار دیگر بدون جداساز پایه مدل‌سازی شده‌اند. برای مدل‌سازی اجزاء محدود مدل موردمطالعه از نرم‌افزار انسیس<sup>۹</sup> (۲۰۱۲) استفاده شده است، که قابلیت مدل‌سازی سه‌بعدی مخزن و آب و لحاظ کردن آثار اندرکنش دینامیکی آن‌ها و نیز قابلیت مدل‌سازی رفتار غیرخطی مصالح مخزن و جداساز را دارد. علاوه بر این می‌توان اعمال هم‌زمان مؤلفه‌های انتقالی و دورانی شتاب زمین در موقع زلزله را در تحلیل تاریخچه‌ی زمانی آن لحاظ کرد. توضیحات مربوط به نحوه اعمال مؤلفه‌ی دورانی زلزله در نوشتار کلانی (۲۰۱۳)، [۲۳] ارائه شده است. مشخصات مصالح، شامل: بت، فولاد و آب در جدول ۱ و مشخصات هندسی مخازن بررسی شده در پژوهش حاضر در جدول ۲ ارائه شده است.

برای مدل‌سازی اجزاء محدود سازه و سیال از روش لاگرانژی استفاده شده است. به این منظور از المان FLUIDA<sup>۱۰</sup> مبتنی بر روش لاگرانژی برای مدل‌سازی آب و المان SOLID65 برای مدل‌سازی بتن پایه‌ی مخزن و همچنین سخت‌کننده‌های زیرکف مخزن جهت جلوگیری از کمکش موضعی آن استفاده شده است. به منظور اعمال اندرکنش مخزن و آب، نقاط نظر سازه و سیال در جهت بتن با یکدیگر درگیر شده و در جهت مماس، مؤلفه‌های مستقل و آزادی حرکت داشته‌اند. در روش لاگرانژی، با انتخاب المان FLUIDA<sup>۱۰</sup>، آثار امواج سطحی به طور اتوماتیک در نظر گرفته می‌شود و نیازی به صفر کردن فشار بر روی سطح آزاد که در روش اوپلری انجام می‌شود، نیست. مشخصات هندسی و مدل اجزاء محدود مخزن در شکل ۲ مشاهده می‌شود.

به منظور مدل‌سازی جداساز هسته‌ی سربی، از مشخصات نمونه‌ی استوانه‌ی مطابق شده در نوشتار مسلمی و کیانوش (۲۰۱۶)، [۲۲] مطابق شکل ۳ استفاده شده است. مدل ایشان شامل دو صفحه‌ی فولادی در بالا و پایین، یاتاقان لاستیکی،

است، به منظور مدل‌سازی جداساز در پژوهش حاضر، مدل معادل ساده شده می‌له و فهر براساس مدل سه‌بعدی نوشتار مسلمی و کیانوش (۲۰۱۶)، [۲۲] ارائه و در تحلیل دینامیکی مخازن استفاده شده است. در انتها نیز روابط اجزاء محدود حاکم بر مسئله و روش حل آن معرفی شده است.

## ۱.۲. تولید مؤلفه‌های دورانی حرکت زمین

در پژوهش حاضر، از روش توسعه‌یافته‌ی هانگ نان لی و همکاران (۲۰۰۴)، [۱۲] برای تولید مؤلفه‌ی دورانی حرکت زمین استفاده شده است. برای این منظور از تابع پتانسیل حرکت موج SV که از مرکز کانونی زمین لرزه منتشر و به سمت سطح زمین حرکت می‌کند، برای تولید مؤلفه‌ی دورانی حرکت زمین در صفحه‌ی  $z - x$  که به مؤلفه‌ی گهواره‌بی معروف است، استفاده شده است. [۲۳] در شکل ۱، نحوه انتشار موج حادث SV با دامنه‌ی ( $A_{SV}$ ) و امواج بازتاب شده‌ی  $P$  و  $SV$  ناشی از آن در سطح زمین با دامنه‌های ( $A_{SP}$ ) و ( $A_{SS}$ ) و زاویه‌ی آن‌ها با محور  $z$  مشاهده می‌شود. همچنین مؤلفه‌های انتقالی  $u$  و  $w$  مؤلفه‌ی دورانی نظیر  $\phi_{gy}$  ناشی از انتشار SV موج حادث در صفحه‌ی  $z = 0$  نیز در شکل ۱ ذکر است که در شکل ۱، زاویه‌های موج  $\theta_1$  و  $\theta_2$  با هم برابر و زاویه‌ی موج بازتابیده  $P$  برابر  $\theta_1$  است. با استفاده از تابع پتانسیل حرکت موج SV، شرط مرزی تنش برشی صفر در سطح زمین و نیز روابطی کلاسیک نظریه‌ی کشسانی بین چرخش و تغیرمکان (رابطه‌ی ۱)، مؤلفه‌ی دورانی حرکت به صورت رابطه‌ی ۲ به دست می‌آید:

$$\phi_{gy} = \frac{1}{2} \left( \frac{\partial w}{\partial x} - \frac{\partial u}{\partial z} \right) \quad (1)$$

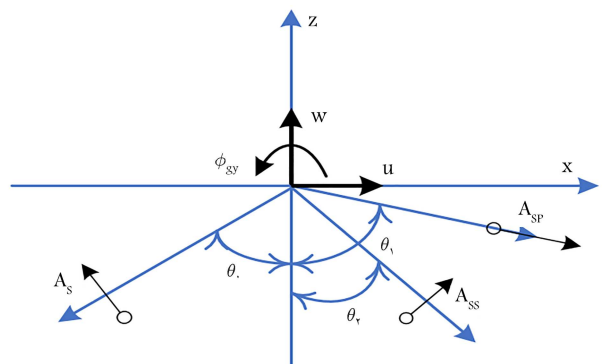
$$\phi_{gy} = \frac{i\omega}{C_x} w \quad (2)$$

که در آن،  $C_x = \beta / \sin \theta_1$  سرعت ظاهری امواج،  $\beta$  سرعت امواج برشی و  $w$  سرعت زاویه‌بی حرکت موج هستند.

در روش توسعه‌یافته‌ی هانگ نان لی و همکاران (۲۰۰۴)، [۱۲] با تغییر متغیر  $x = \sin \theta$ ، از روابط ۳ و ۴ برای محاسبه‌ی زاویه‌ی موج حادث استفاده می‌شود:

$$G = \frac{2x\sqrt{1-K^2x^2}}{K(1-2x^2)}, \quad \theta_1 < \theta_C \quad (3)$$

$$G = -\frac{2x\sqrt{K^2x^2-1}}{iK(1-2x^2)}, \quad \theta_1 > \theta_C \quad (4)$$



شکل ۱. نحوه انتشار موج SV و امواج بازتابی ناشی از آن در سطح زمین. [۱۲]

جدول ۱. مشخصات مصالح.

آب		فولاد			بتن سازه		
مدول بالک ( $kg/m^3$ )	جرم حجمی ( $N/m^2$ )	نسبت پواسون	مدول کشسانی ( $N/m^3$ )	جرم حجمی ( $kg/m^3$ )	مدول کشسانی ( $N/m^3$ )	جرم حجمی ( $N/m^3$ )	
۱۰۰۰	$2/2 \times 10^9$	۰/۳	۷۸۰۰	$2 \times 10^{11}$	۰/۲۷	۲۴۰۰	$2 \times 10^{10}$

جدول ۲. مشخصات هندسی مخازن بر حسب متر ( $m$ ).

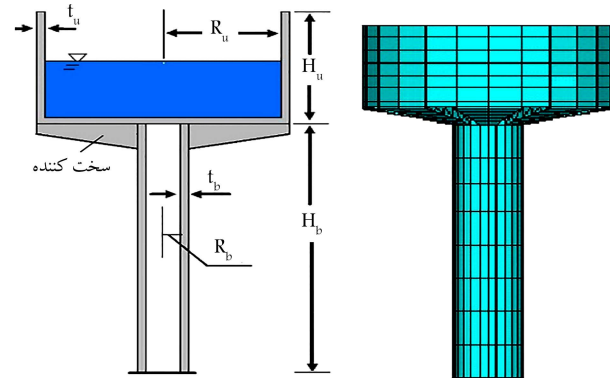
مخزن				پایه				حجم مخزن ( $m^3$ )
ارتفاع ( $t_u$ )	شعاع داخلی ( $R_u$ )	ارتفاع ( $H_u$ )	ضخامت جدار ( $t_b$ )	شعاع داخلی ( $R_b$ )	ارتفاع ( $H_b$ )	ضخامت جدار ( $t_b$ )		
۰/۵	۶	۵	۰/۵	۱	۳۰	۵۰۰		
۰/۵	۷/۵	۵	۰/۵	۱	۳۰	۱۰۰۰		

با وجود این، به کارگیری چنین مدل سه بعدی از جداساز در تحلیل دینامیکی مخازن مایعات، که خود شامل تعداد زیادی المان سازه و سیال است، از نظر محاسباتی مقرون به صرفه نیست. بنابراین در پژوهش حاضر، مدل میله‌ی دوگره‌ی (LINK180) برای مدل‌سازی رفتار لزه‌ی جداساز پیشنهاد شده است. المان مذکور خاصیت خمیری و قابلیت مدل‌سازی کرنش‌های بزرگ را دارد و توانایی مدل‌سازی رفتار بر بشی دستگاه‌های کتول غیرفعال را نیز با دقت بالایی دارد. همچنین رفتار محوری (عمودی) جداساز با استفاده از یک المان فنر کشسان خطی دوگره‌ی (COMBIN14) شبیه‌سازی شده است. براساس مدل ساده شده پیشنهادی، فقط داشتن سختی قائم  $K_v$  برای مدل‌سازی رفتار افقی جداساز کافی است. با این حال سه پارامتر اصلی برای تعریف رفتار افقی جداساز لازم است، که شامل: مقاومت تسلیم  $Q_y$ ، سختی کشسان  $K_e$  و سختی خمیری  $K_p$  است. در نوشتار مسلمی و کیانوش (۲۰۱۶)، [۲۱] مقادیر  $Q_y = ۲۲۴ kN$ ,  $K_v = ۶۰۰ kN/mm$  و  $K_p = ۲ kN/mm$ ,  $k_e = ۱۷ kN/mm$ ,  $۶۰۰ kN/mm$  در نظر گرفته شده است. در پژوهش حاضر با توجه به قطر پایه‌ی مخزن که  $3m$  و قطر جداساز شده است. در پژوهش حاضر با توجه به قطر پایه‌ی مخزن  $3m$  عدد جداساز که  $650 mm$  است، به منظور رعایت فاصله بین جداسازها،  $8$  عدد جداساز در تراز پایه در نظر گرفته شده است که جانمایی شماتیک آن مطابق شکل (۴(الف)) است. شکل شماتیک فنر و میله‌ی معادل هر جداساز نیز در شکل (۴(ب) مشاهده می‌شود.

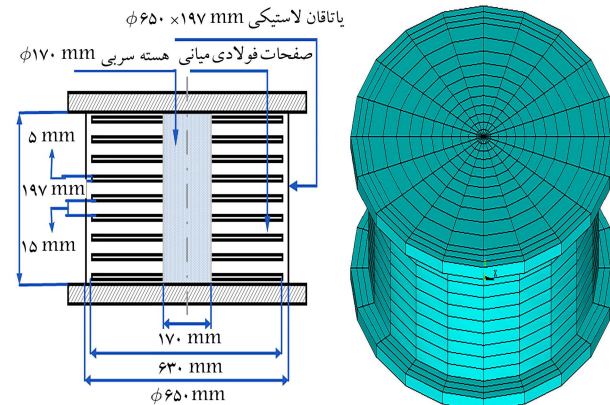
از آنجاکه وزن مخازن با حجم ذخیره‌ی  $500 m^3$  و  $1000 m^3$  در حالت پُربه ترتیب حدود  $9500 kN$  و  $18000 kN$  است و سختی کشسان هر فنر  $K_v = 600 kN/mm$  در نظر گرفته شده است، با تغییر مکان قائم حدود  $2/5$  و  $5mm$  در جداساز و فنر معادل، نیروی مقاوم موردنیاز جداساز تأمین می‌شود. با توجه به اینکه در فواصل بین ورق‌های فولادی میانی جداساز صفحات لاستیکی اعطاف‌پذیر به ضخامت  $15mm$  وجود دارد، چنین تغییر شکل قائمی برای جداساز دور از انتظار نیست. به منظور تأمین سختی کشسان جانبی المان میله  $k_e = 17 kN/mm$ , مساحت میله‌ی بهکار رفته در مدل از رابطه‌ی  $K_e = EA/L$  معادل  $785 m^3$  طول میله برابر  $1m$  و مدول کشسانی میله و فنر نیز  $21/65 GPa$  تعیین شده است.

### ۳.۲. روابط اجزاء محدود حاکم

در پژوهش حاضر از روش لاگرانژی - لاگرانژی برای تحلیل اندرکش دینامیکی سیستم سازه - سیال به روش اجزاء محدود استفاده شده است. معادله‌ی تعادل

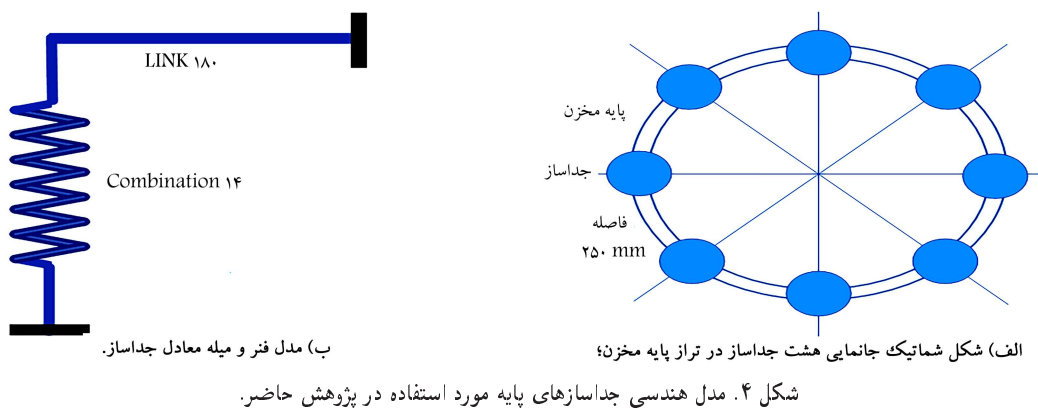


شکل ۲. مشخصات هندسی و نمونه‌ی مخزن مدل‌سازی شده در نرم افزار اجزاء محدود و سخت‌کننده‌های کف آن.



شکل ۳. مدل سه بعدی و مشخصات هندسی جداساز استفاده شده در نوشتار مسلمی و کیانوش (۲۰۱۶)، [۲۲].

صفحات فولادی میانی و هسته‌ی سربی بوده است. ایشان در پژوهش خود با مدل‌سازی سه بعدی جداساز در نرم افزار انسیس، اختصاص دادن رفتار غیرخطی برای مصالح جداساز و اعمال نیروی قائم و افقی بر صفحه‌ی فولادی بالای جداساز رفتار جداساز مدل‌سازی شده را با نمونه‌ی آزمایشگاهی مقایسه کرده‌اند که با توجه به ترتیج به دست آمده، تطابق مناسبی بین مدل‌های هندسی نوشتار مسلمی و کیانوش (۲۰۱۶)، [۲۲] و نتیجه‌ی آزمایشگاهی مشاهده شده است.



شکل ۴. مدل هندسی جداسازهای پایه مورد استفاده در پژوهش حاضر.

است. هدف اصلی پژوهش حاضر، بررسی تأثیر مؤلفه‌ی دورانی زلزله در رفتار مخازن با حضور جداساز بوده است. اما از آنجایی که ماهیت مؤلفه‌ی دورانی همه‌ی زلزله‌ها مشابه نیست و به عوامل مختلفی، مانند: سرعت موج برشی، نسبت  $PGA$  مؤلفه‌های انتقالی و ... بستگی دارد، لذا پیش از شروع پژوهش حاضر، مطالعات گسترده‌ی جهت انتخاب زلزله‌های مناسب پژوهش حاضر انجام شده و از بین تعداد زیادی از شتاب‌نگاشتهای بررسی شده، شتاب‌نگاشتهای با مؤلفه‌ی دورانی قابل توجه که نیاز پژوهش حاضر را برآورده سازند، انتخاب شده‌اند.

منظور از زلزله‌های حوزه‌ی نزدیک در پژوهش حاضر، شتاب‌نگاشتهای نیت شده در فاصله‌ی کمتر از  $20\text{ km}$  از گسل فعلی بوده است که به منظور ایجاد ارتفاعهای پالس‌گونه، به وجود آثار جهت‌بندیری پیش‌روندۀ در تاریخچه‌ی زمانی سرعت آن‌ها توجه شده است. علاوه بر این، پارامترهای دیگری، مانند نسبت  $PGV/PGA$  به مطابق تعریف فوریه، حل معادله‌های  $3$  و  $4$  و نیز تبدیل عکس فوریه در نرم‌افزار متلب  $(MATLAB)$  کدنویسی شده و مؤلفه‌ی دورانی حرکت زمین برای هر رزونج انتقالی شتاب‌نگاشتهای دور و نزدیک ثبت شده در سایت [peer](#)<sup>[۲۵]</sup> استفاده شده است.

به منظور تولید تاریخچه‌ی زمانی شتاب مؤلفه‌ی دورانی نظری  $5$  زلزله‌ی بررسی شده، مطابق تعریف گام به گام بخش  $1-2$  از پژوهش حاضر، روابط مطرح شده شامل دستورهای تبدیل فوریه، حل معادله‌های  $3$  و  $4$  و نیز تبدیل عکس فوریه در نرم‌افزار متلب  $(MATLAB)$  کدنویسی شده و مؤلفه‌ی دورانی حرکت زمین برای هر رزونج انتقالی شتاب‌نگاشتهای دور و نزدیک ثبت شده است. جهت کنترل صحت کدنویسی و ارزیابی دقت مؤلفه‌ی دورانی تولید شده، نتایج ثبت شده توسط شتاب‌نگارهای دورانی  $S-5-S$  که توسط کل  $11$  و همکاران  $(2012)$ <sup>[۲۶]</sup> در منطقه‌ی کاروینا از کشور چک نصب و راهاندازی شده است، با توجهی متناظر به دست آمده از کد نوشته شده در پژوهش حاضر مقایسه شده است. در شکل‌های  $5$  و  $6$ ، به ترتیب تاریخچه‌ی زمانی مؤلفه‌ی دورانی و طیف محتوای ساماندی مؤلفه‌ی دورانی ثبت شده توسط شتاب‌نگار  $S-5-S$  و نتیجه‌ی به دست آمده در پژوهش حاضر مشاهده می‌شوند. ضریب همبستگی نتایج که در نرم‌افزار اکسل محاسبه شده است، برابر با  $0.895$  است و این مسئله نشان‌دهنده‌ی همبستگی مناسب بین نتایج و بنابراین تطابق قابل قبول رکوردهای تولیدشده با رکوردهای ثبت شده است. بیشترین مقادیر سرعت و شتاب دورانی  $5$  زلزله‌ی بررسی شده و ساماند غالب مؤلفه‌های انتقالی و دورانی زلزله‌ها در جدول  $4$  ارائه شده است.

## ۲.۳. نتایج تحلیل مودال

نتایج مربوط به دوره‌ی تناوب دو مود اول ارتعاشی در تحلیل مودال مخازن با حجم

دینامیکی یک سیستم  $n$  درجه آزادی که تحت شتاب زمین فرار گرفته است، به صورت رابطه‌ی  $6$  بیان می‌شود:

$$m\ddot{u}(t) + c\dot{u}(t) + ku(t) = P_{eff}(t) \quad (6)$$

که در آن،  $m$ ،  $c$  و  $k$  به ترتیب ماتریس‌های جرم، میرایی و سختی،  $\ddot{u}(t)$ ،  $\dot{u}(t)$  و  $u(t)$  به ترتیب بردارهای شتاب، سرعت و تغییرمکان نقاط گرهی شبکه‌ی اجراء محدود و  $P_{eff}(t) = -m\dot{U}_g(t)$  بردار بارگردی مؤثر ناشی از زلزله هستند. همچنین در رابطه‌ی اخیر، به  $\ddot{U}_g(t)$  بردار شتاب حرکت زمین شامل مؤلفه‌های انتقالی و دورانی و بردار تغییرمکان صلب درجه‌های آزادی سازه برای تغییرمکان واحد زمین است که در حالت حرکت یکنواخت شامل درایه‌های صفر و یک است. ماتریس جرم  $m$  استفاده شده در پژوهش حاضر، با وارد کردن چگالی به عنوان مشخصات مصالح در نرم‌افزار انسیس به صورت قطری و با روش هیئتمن در نظر گرفته شده است، ماتریس سختی  $k$  از مونتاژ ماتریس سختی المان‌ها به دست می‌آید و ماتریس میرایی  $c$  با استفاده از روش متناسب رایلی (رابطه‌ی  $7$ ) محاسبه می‌شود:

$$c = \alpha m + \beta k \quad (7)$$

که در آن،  $\beta$  و  $\alpha$  به ترتیب از روابط  $8$  و  $9$  محاسبه می‌شوند:

$$\beta = \frac{(z_4 z_5 - z_4 z_6)}{(z_4 z_5 - z_4 z_6)} \quad (8)$$

$$\alpha + \beta \omega_i^2 = 2\omega_i^2 \quad (9)$$

که در آن‌ها،  $z_4$ ،  $z_5$ ،  $z_6$  و  $z_7$  به ترتیب بسامد مدهای غالب اول و دوم و ضرایب میرایی مربوط به آن‌ها هستند. در پژوهش حاضر، برای حل معادله‌ی تعادل دینامیکی رابطه‌ی  $6$ ، از روش شتاب ثابت نیومارک استفاده شده است.

## ۳. نتایج عددی و بحث

در بخش کنونی، ابتدا مشخصات شتاب‌نگاشتهای استفاده شده در پژوهش حاضر ارائه و مؤلفه‌ی دورانی زلزله‌ها با توجه به روند بخش  $1-2$  تولید شده است. سپس نتایج عددی حاصل در قالب نتایج تحلیل تحلیل مودال و دینامیکی ارائه شده‌اند.

### ۱.۳. مؤلفه‌های دورانی حرکت زمین تحت اثر زلزله

برای تعیین پاسخ ارزه‌ی مخازن تحت اثر هر زمان مؤلفه‌های انتقالی و دورانی شتاب زمین در هنگام زلزله، از  $5$  شتاب‌نگاشت مختلف مطابق جدول  $3$  استفاده شده

جدول ۳. مشخصات زلزله‌های استفاده شده در پژوهش حاضر.

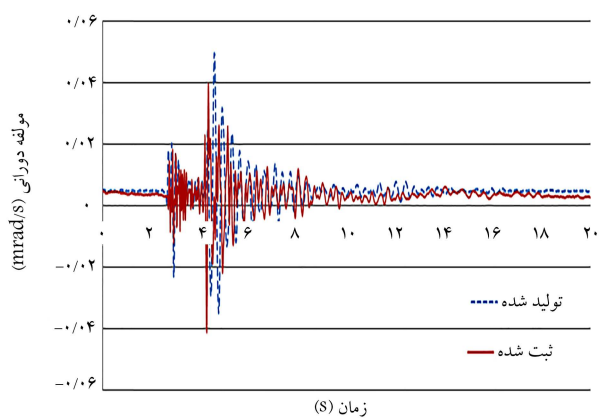
سرعت موج برشی (m/s)	PGA (g)	مولفه ثبت شده	فاصله مرکز سطحی (km)	ایستگاه	زلزله (زمان وقوع)
۲۱۳/۴	۰/۰۱۳	قائم	۲۸/۲۴	۱۷۷EI Centro	ال سنترو
	۰/۰۴۹	N - S		Array #9	(۱۹۵۱، ۰/۲۴)
۲۰۱۶/۱	۰/۷۰۹	قائم	۱۱/۸۶	Pacoma Dam	سن فرناندو
	۱/۰۷۵	S ۷۴W			(۱۹۷۱، ۰/۲۰۹)
۲۸۵/۴	۰/۱۰۵	قائم	۳۵/۰۰	Lincoln School Tunnel	تفت
	۰/۱۷۹	S ۶۹E			(۱۹۵۲، ۰/۷۲۱)
۲۳۸/۶	۰/۰۶۹	قائم	۷۴/۶۶	Boshrooyeh	طبس
	۰/۱۰۹	طولی			(۱۹۷۸، ۰/۱۶)
۶۲۹/۰	۰/۴۲۴	قائم	۱۱/۷۹	OOOLA Dam	نورث‌بیچ
	۰/۵۱۱	طولی			(۱۹۹۴، ۰/۱۱۷)

۵۰۰ و  $1000\text{ m}^3$  در سه حالت پر نیمه‌پرو خالی در جدول ۵ ارائه شده است. یکی از کاربردهای تحلیل مودال، محاسبه‌ی ضرایب میرایی رایلی جهت محاسبه‌ی ماتریس میرایی در تحلیل دینامیکی است. ضرایب میرایی رایلی برای حالت‌های مختلف مخازن محاسبه و در جدول ۵ ارائه شده است.

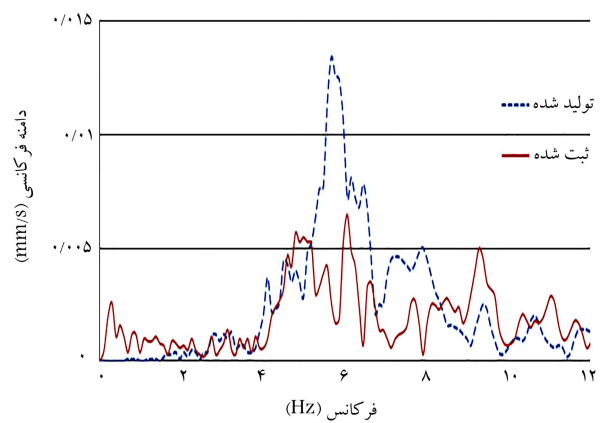
### ۳.۳. نتایج تحلیل دینامیکی

هدف بخش کنونی، بررسی اثر حضور جداساز پایه در تشنج بلندشدن (قائم) و برش پایه‌ی مخازن بتی هواپی با شافت مرکزی است. بنا بر این در بخش حاضر، ابتدا صحت رفتار مدل پیشنهادی جداساز لرزه‌بی، ارزیابی شده است. همان‌طور که در بخش ۲.۲ مطرح شد، از آنجایی که استفاده از مدل سه‌بعدی جداساز موجب افزایش حجم محاسبات در تحلیل دینامیکی مخازن می‌شود، برای مدل سازی جداساز پایه در پژوهش حاضر مدل معادل ساده شده‌ی برا ساس مدل سه‌بعدی مسلمی و کیانوش [۲۰]، [۲۱]، [۲۲] ارائه و استفاده شده است. همان‌طور که در (شکل ۴ ب) مشاهده می‌شود، مدل مذکور متشکل از یک میله‌ی دوگره‌بی برای مدل سازی رفتار لرزه‌بی و یک المان فزر کشسان خطی دوگره‌بی جهت شیوه‌سازی رفتار محوری جداساز بوده است. به منظور کنترل صحت عملکرد مدل معادل جداساز استفاده شده در روند تحلیل دینامیکی پژوهش حاضر، منحنی هیسترزیس مربوط به المان معادل میله و فزر در نوشتار مسلمی و کیانوش [۲۰]، [۲۱] مقایسه شده است (شکل ۷). در شکل (۷)، حلقه‌های هیسترزیس مدل‌های هندسی نوشتار مسلمی و کیانوش [۲۰]، [۲۱] و در شکل (۷ ب)، نمودار هیسترزیس مدل ارائه شده در پژوهش حاضر مشاهده می‌شود. مقایسه‌ی نمودارها، نشان‌دهنده‌ی تطابق بسیار مناسب نتیجه‌ی مدل ساده‌ی ارائه شده در پژوهش حاضر با مدل سه‌بعدی نوشتار مسلمی و کیانوش [۲۰]، [۲۱] است.

در ابتدای پژوهش حاضر، تحلیل غیرخطی مخازن جداسازی شده با درنظر



شکل ۵. تاریخچه‌ی زمانی سرعت دورانی ثبت شده توسط شتاب‌نگار S-S و تولید شده در پژوهش حاضر.



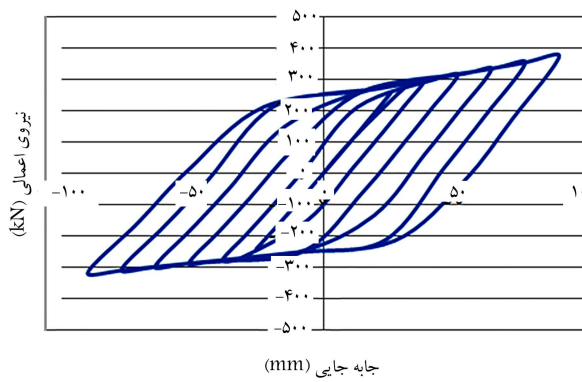
شکل ۶. طیف محتوای بسامدی سرعت دورانی ثبت شده توسط شتاب‌نگار S-S و تولید شده در پژوهش حاضر.

جدول ۴. بیشترین شتاب زاویه‌بی، سرعت زاویه‌بی و فرکانس غالب مولفه‌های انتقالی و دورانی زلزله‌ها.

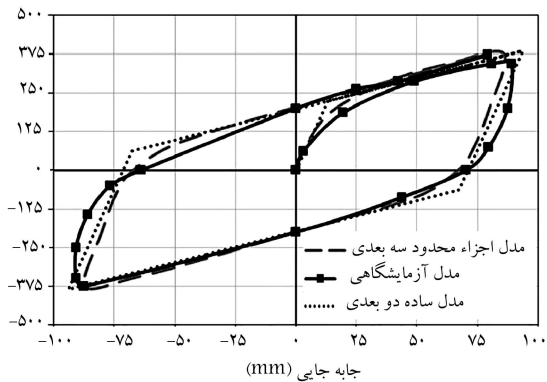
	نورثروج	طبس	نت	سن فرناندو	السنتر	زلزله
	۴۴۷/۰	- ۱۰۸/۵۰	۱۵/۶۰	- ۵۷/۰۰	- ۶/۱۷	$\dot{\phi}_{\max}$
- ۱/۲۲	۰/۳۸	- ۰/۰۴	۰/۳۷	- ۰/۰۳	-	$\dot{\phi}_{\max}$
۱۰/۲۵	۰/۹۰	۲/۳۰	۴/۰۵	۴/۴۵	مولفه‌ی قائم	فرکانس
۰/۷۸	۷/۴۰	۴/۴۰	۴/۷۸	۲/۲۵	مولفه‌ی طولی	غالب
۱/۱۰	۰/۸۸	۱/۳۰	۲۲/۰۰	۱/۶۵	مولفه‌ی گهواره‌بی	(Hz)

جدول ۵. دوره تناوب دو مود اول ارتعاش و ضرایب میرایی رايلي.

دوره تناوب (ثانیه)						
-۱۰۰۰m³	-۵۰۰m³	-۱۰۰۰m³-نیمه پر	-۱۰۰۰m³-نیمه پر	-۵۰۰m³-خالی	-۱۰۰۰m³-خالی	-۵۰۰m³-خالی
۲/۳۵۵	۲/۴۸۷	۲/۸۴۹	۲/۱۵۵	۲/۲۸۳	۱/۸۰۵	۱
۱/۰۶۱	۰/۶۱۱	۰/۱۰۶۱	۰/۶۱۱	۱/۰۵۴	۰/۶۰۷	۲
۰/۱۴۲	۰/۲۰۳	۰/۱۶۱	۰/۲۲۷	۰/۱۸۸	۰/۲۶۰	$\alpha$
۰/۰۱۳	۰/۰۰۸	۰/۰۱۲	۰/۰۰۷	۰/۰۱۱	۰/۰۰۷	$\beta$



ب) المان میله و فن در پژوهش حاضر.



الف) مدل های هندسی جداساز هسته سربی؛

شکل ۷. منحنی هیسترزیس.

تحلیل صورت می‌پذیرد، در هر حالت، بیشترین تنفس بلندشدنگی و برش پایه‌ی مخزن شده است که به دلیل اتفاق ازرسی سیستم به واسطه‌ی حضور جداساز، رفتار غیرخطی محاسبه و ارزیابی شده است.

نتایج مربوط به بیشترین تنفس بلندشدنگی و برش پایه‌ی مربوط مخازن بتنه هواوی با حجم  $500 m^3$  به تفکیک در جدول‌های ۶ و ۷ و نتایج مشابه برای مخازن با حجم  $1000 m^3$  در جدول‌های ۸ و ۹ ارائه شده است. در جدول‌های مذکور، ۲C نتایج مربوط به تحلیل تحت دو مؤلفه‌ی انتقالی و ۳C نتایج مربوط به تحلیل هم‌زمان تحت دو مؤلفه‌ی انتقالی و یک مؤلفه‌ی دورانی زلزله است. به منظور مشاهده‌ی شماتیک روند تغیرات تنفس بلندشدنگی و برش پایه‌ی مخازن با و بدون حضور جداساز، میانگین نتایج به دست آمده از حالت‌های مختلف برای مخازن با حجم ذخیره‌ی  $50 m^3$  و  $1000 m^3$  در قالب نمودارهای ستونی در شکل‌های ۸ و ۹ مشاهده می‌شود.

همان‌طور که عنوان شد، برای تعیین پاسخ، ۵ شتاب‌نگاشت استفاده شده شامل طیف گستردگی از بسامدهای انتقالی، بزرگ، و نیز شرایط دوری یا نزدیکی از گسل بوده‌اند. برای جاواگیری از تأثیر خصوصیات مختلف زلزله‌ها و درنتیجه پراکنده‌گی پاسخ‌ها در میانگین نتایج حاصل از حضور و عدم حضور جداساز، همان‌طور که در جدول‌های ۶ الی ۹ ارائه شده است، درصد اختلاف نتایج برای هر یک از حالت‌ها با مشخصات مشابه با استفاده فرمول  $10$  محاسبه و در آنها نیز برای بیان نتیجه‌گیری شده است. از آنجایی که همواره طراحی سازه‌ها براساس بیشترین پاسخ ناشی از

گرفتن رفتار غیرخطی مصالح مخزن، تحت تمام زلزله‌های انتخابی انجام و مشخص شده است که به دلیل اتفاق ازرسی سیستم به واسطه‌ی حضور جداساز، رفتار غیرخطی خطی است و حضور جداساز، مانع از ورود مخازن به محدوده‌ی رفتار غیرخطی می‌شود. بنابراین به منظور مقایسه‌ی صحیح پاسخ مخازن در دو حالت با و بدون جداساز، رفتار مخازن در تمامی تحلیل‌ها خطی در نظر گرفته شده است. درنتیجه ۵ شتاب‌نگاشت استفاده شده مطابق جدول ۳، به‌گونه‌ی انتخاب شده‌اند که طیف گستردگی از بسامدهای انتقالی، بزرگ و نیز شرایط دوری یا نزدیکی از گسل را شامل شوند، تا اثر همه‌ی موارد در رفتار جداساز در نظر گرفته شود. جهت بررسی اثر مؤلفه‌ی دورانی زلزله در پاسخ لرزه‌ی مخازن، نتایج تحلیل دینامیکی مخازن یک‌بار تحت اثر دو مؤلفه‌ی افقی و قائم (مؤلفه‌های انتقالی) و بار دیگر تحت اثر هم‌زمان دو مؤلفه‌ی انتقالی و یک مؤلفه‌ی دورانی زلزله‌ها انجام شده است. به منظور انجام یک مطابقه‌ی پارامتریک، مخازن با دو حجم ذخیره‌ی  $50 m^3$  و  $1000 m^3$  در سه حالت خالی، نیمه‌پر و پر بررسی و تحلیل شده‌اند. تمام تحلیل‌های ذکر شده، یک‌بار بدون حضور جداساز و بار دیگر با حضور جداساز پایه انجام شده است. درنتیجه، برای استخراج نتایج بخش کنونی، در مجموع  $120$  تحلیل دینامیکی غیرخطی در حالت سه‌بعدی انجام و تاریخچه‌ی زمانی تنفس بلندشدنگی و برش پایه‌ی مخازن استخراج شده است. از آنجایی که همواره طراحی سازه‌ها براساس بیشترین پاسخ ناشی از

۳C			۲C			زلزله	مدل
درصد اختلاف	بدون جداساز	باجداساز	درصد اختلاف	بدون جداساز	باجداساز		
-۹۴/۲۳	۷۲۶۴۲/۳	۱۲۵۹۵۰	-۹۵/۲۱	۵۴۶۴۶/۸	۱۱۰۶۵۰	السترو	مخزن خالی سن فراناندو نورث‌ریج تفت
-۹۱/۶۸	۳۷۰۶۱۱	۴۴۵۲۹۰	-۸۷/۷۲	۱۷۸۶۸۵	۱۴۵۵۴۰	طبس	
-۸۵/۵۷	۵۳۰۱۶۱۰	۳۷۰۹۵۰	-۸۵/۱۹	۵۵۴۷۲۴۰	۳۷۴۴۶۰	سن فراناندو	
-۷۷/۳۸	۵۵۰۰۸۲۰	۲۴۵۳۴۱۰	-۸۹/۱۴	۳۵۳۱۳۴۰	۳۲۵۱۳۷۰	نورث‌ریج	
-۹۳/۳۴	۶۷۸۸۶۸	۱۰۱۹۶۷۰	-۸۹/۷۶	۱۰۲۵۸۴۰	۱۰۰۱۶۳۰	تفت	
-۳۹/۵۱	۷۹۹۱۹۳	۱۳۲۱۲۱۰	-۲۶/۸۱	۷۹۹۱۰۵	۱۰۹۱۷۴۰	السترو	مخزن نیمه‌پر سن فراناندو نورث‌ریج تفت
-۷۹/۵۴	۷۹۸۷۲۹	۳۹۰۴۴۰	-۳۵/۶۷	۷۹۸۷۵۳	۱۲۴۱۷۲۰	طبس	
-۸۳/۹۷	۵۴۳۷۷۰	۳۳۹۱۶۵۰	-۸۳/۴۲	۵۶۱۷۱۵۰	۳۳۸۸۵۴۰	سن فراناندو	
-۷۶/۵۴	۶۰۹۰۸۴۰	۲۵۹۶۲۹۰	-۹۱/۵۰	۳۴۶۲۹۱۰	۴۰۷۲۳۷۰	نورث‌ریج	
-۹۱/۴۲	۸۰۰۵۴۶	۹۳۳۴۷۴۰	-۸۵/۰۲	۱۲۶۴۶۱۰	۸۴۳۹۴۴۰	تفت	
-۹۵/۲۸	۶۷۰۵۱/۵	۱۴۱۹۷۲۰	-۹۵/۳۲	۶۶۴۰۶/۶	۱۴۱۹۰۳۰	السترو	مخزن پر سن فراناندو نورث‌ریج تفت
-۸۴/۴۷	۴۹۰۱۱۲	۳۱۰۵۸۱۰	-۸۶/۳۱	۱۹۳۸۹۲	۱۴۱۵۸۶۰	طبس	
-۷۶/۶۳	۶۵۰۲۰۲۰	۲۷۸۲۶۰	-۷۷/۳۸	۶۷۵۲۱۰	۲۹۸۴۶۱۰	سن فراناندو	
-۷۹/۱۶	۷۱۳۴۷۷۰	۳۴۲۲۷۹۰	-۹۲/۸۱	۳۰۹۴۳۶۰	۴۳۰۵۸۱۰	نورث‌ریج	
-۸۹/۹۱	۷۹۰۵۷۶	۷۸۳۷۳۵۰	-۸۵/۱۸	۱۰۸۰۰۴۰	۷۲۸۵۹۲۰	تفت	

 جدول ۷. بیشترین برش پایه‌ی مخزن به حجم ذخیره‌ی  $m^3$  با و بدون جداساز (برحسب  $N$ )

۳C			۲C			زلزله	مدل
درصد اختلاف	بدون جداساز	باجداساز	درصد اختلاف	بدون جداساز	باجداساز		
-۲۸/۲۹	۷۸۱۰۲/۸۶	۱۰۸۹۲۱	-۲۰/۹۹	۷۵۸۹۴/۴۴	۹۶۰۵۴/۹	السترو	مخزن خالی سن فراناندو نورث‌ریج تفت
-۶۰/۳۲	۱۵۹۶۹۹/۴	۴۰۲۴۸۲	-۱۹/۷۸	۱۵۰۷۵۱/۲	۱۸۷۹۱۵	طبس	
-۵۹/۴۶	۱۵۳۰۱۳۰	۳۷۷۴۳۶۰	-۵۸/۹۹	۱۵۵۴۵۰۳	۳۷۹۰۹۰	سن فراناندو	
-۴۷/۵۷	۱۱۰۲۹۱۴	۲۱۰۳۵۲۰	-۷۲/۳۵	۷۷۳۰۰۹/۶	۲۷۹۵۵۸۰	نورث‌ریج	
-۶۳/۹۸	۳۲۸۲۹۹/۲	۹۱۱۴۳۶	-۵۵/۳۶	۳۸۷۴۲۶/۱	۸۶۷۹۳۶	تفت	
-۳۱/۳۲	۷۶۵۱۰/۷۶	۱۱۱۴۰۳	-۱۴/۸۱	۷۴۳۲۱/۹۴	۸۷۲۴۲/۸	السترو	مخزن نیمه‌پر سن فراناندو نورث‌ریج تفت
-۵۵/۲۹	۱۴۸۱۶۲۷/۷	۳۳۱۴۰۸	-۱۵/۶۸	۱۲۰۱۷۹/۵	۱۵۴۲۸۲	طبس	
-۴۵/۴۶	۱۷۹۵۰۹۲	۳۲۹۱۰۷۰	-۵۱/۹۸	۱۵۵۲۲۹۴	۳۲۳۲۴۸۰	سن فراناندو	
-۵۰/۹۴	۱۱۳۶۱۶۰	۲۲۱۶۰۰	-۷۷/۱۶	۷۹۰۵۸۴/۴	۳۴۶۲۰۶۰	نورث‌ریج	
-۵۷/۴۵	۲۴۲۴۲۰/۵	۸۰۷۰۲۱	-۴۷/۳۶	۴۱۴۳۳۶/۲	۷۸۷۱۰۰	تفت	
-۱۸/۳۸	۷۸۹۱۹/۶۴	۹۶۶۸۹/۹	-۱۸/۸۷	۷۶۵۸۶/۷۲	۹۴۴۰۲/۸	السترو	مخزن پر سن فراناندو نورث‌ریج تفت
-۴۵/۸۶	۱۴۰۹۳۶/۳	۲۶۰۳۰۹	-۲۳/۹۷	۱۱۵۰۸۲/۱	۱۵۱۳۶۱	طبس	
-۲۷/۰۲	۱۶۹۱۵۷۶	۲۲۱۷۹۱۰	-۲۷/۱۰	۱۷۰۵۶۳۹	۲۳۳۹۵۴۰	سن فراناندو	
-۵۹/۲۳	۱۱۶۱۱۷۴	۲۸۴۷۸۳۰	-۷۶/۰۸	۸۲۴۸۰۹	۳۴۴۷۹۷۰	نورث‌ریج	
-۴۷/۲۳	۳۷۸۱۶۴/۹	۷۱۶۶۷۴	-۳۸/۱۸	۴۱۷۵۲۶/۹	۶۷۵۳۶۶	تفت	

جدول ۸. بیشترین تنفس بلندشدنگی مخزن به حجم ذخیره‌ی  $1000\text{ m}^3$  با و بدون جداساز (برحسب  $N/m^3$ )

۳C				۲C				زلزله	مدل
درصد اختلاف	بدون جداساز	باجداساز	بدون جداساز	درصد اختلاف	بدون جداساز	باجداساز	بدون جداساز		
-۹۴/۸۶	۶۷۱۴۲/۷	۱۳۰۶۵۷۰	-۹۳/۵۸	۶۴۷۶۲/۴	۱۰۰۸۷۹۰	الستترو	مخزن خالی	سن فرناندو	نورث‌ریج
-۸۶/۰۱	۴۲۳۲۲۴۲	۳۰۹۴۸۷۰	-۸۹/۰۴	۱۲۱۲۰۴	۱۱۰۵۷۷۰	طبس			
-۷۵/۵۲	۶۸۷۷۴۷۰	۲۸۰۹۵۷۰۰	-۷۶/۸۹	۷۰۷۵۲۵۰	۳۰۶۱۱۱۰۰	سن فرناندو			
-۷۵/۶۳	۷۶۸۵۴۲۰	۳۱۰۳۵۱۰۰	-۹۳/۲۹	۲۸۷۶۸۵۰	۴۲۸۶۶۲۰۰	نورث‌ریج			
-۹۱/۰۱	۶۹۶۹۱۳	۷۷۴۹۱۶۰	-۸۶/۰۷	۱۰۴۲۲۶۰	۷۴۸۴۴۷۰	تفت			
<hr/>									
-۳۱/۵۷	۱۱۳۲۹۳۰	۱۶۵۵۵۰۰	-۳۱/۴۹	۱۱۳۲۶۸۰	۱۶۵۳۴۰۰	الستترو	مخزن نیمه‌پر	سن فرناندو	نورث‌ریج
-۶۰/۵۱	۱۱۳۱۴۴۰	۲۸۶۴۸۳۰	-۳۱/۳۳	۱۱۳۱۷۴۰	۱۶۴۸۱۴۰	طبس			
-۷۳/۶۹	۷۴۳۱۸۲۰	۲۸۲۴۷۸۰۰	-۷۵/۶۳	۷۵۱۴۰۳۰	۳۰۸۲۶۶۰۰	سن فرناندو			
-۸۸/۸۹	۸۱۷۳۵۳۰	۲۶۲۷۶۰۰۰	-۹۱/۶۴	۳۰۰۴۰۰۰	۳۵۹۲۱۹۰۰	نورث‌ریج			
-۸۴/۵۷	۱۱۰۱۹۷۰	۷۱۴۲۳۱۰	-۸۵/۰۸	۱۱۰۶۰۲۰	۷۴۱۱۹۱۰	تفت			
<hr/>									
-۳۲/۹۷	۱۵۳۷۹۳۰	۲۲۹۴۲۳۰	-۳۲/۹۱	۱۵۳۷۶۶۰	۲۲۹۱۹۳۰	الستترو	مخزن پر	سن فرناندو	نورث‌ریج
-۴۶/۹۳	۱۵۳۶۱۴۰	۲۸۹۴۲۷۰	-۳۲/۷۷	۱۵۳۶۵۲۰	۲۲۸۵۵۴۰	طبس			
-۷۲/۹۲	۷۹۳۶۹۹۰	۲۹۳۰۳۶۰۰	-۶۵/۵۰	۸۱۱۹۲۷۰	۲۱۶۵۱۵۰۰	سن فرناندو			
-۷۱/۷۰	۸۱۴۵۸۰۰	۲۸۷۸۲۷۰۰	-۸۵/۴۰	۳۱۰۵۰۶۰	۲۱۲۶۶۶۰۰	نورث‌ریج			
-۷۹/۹۰	۱۴۸۷۴۹۰	۷۳۹۸۹۶۰	-۸۳/۰۰	۱۴۸۷۹۹۰	۸۷۵۲۵۴۰	تفت			

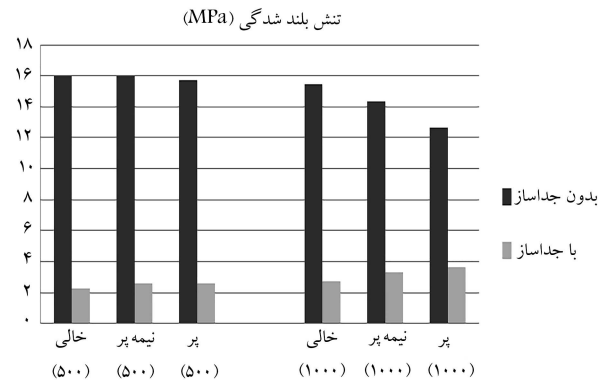
جدول ۹. بیشترین برش پایه‌ی مخزن به حجم ذخیره‌ی  $1000\text{ m}^3$  با و بدون جداساز (برحسب  $N$ )

۳C				۲C				زلزله	مدل
درصد اختلاف	بدون جداساز	باجداساز	بدون جداساز	درصد اختلاف	بدون جداساز	باجداساز	بدون جداساز		
-۳۷/۰۰	۶۷۷۵۶/۲۹	۱۰۷۵۴۶	-۲۵/۴۸	۶۷۴۸۷/۰۲	۹۰۵۵۷/۳	الستترو	مخزن خالی	سن فرناندو	نورث‌ریج
-۵۵/۲۲	۱۱۵۳۰/۷/۸	۲۵۷۵۱۷	-۵۹/۶۸	۷۹۳۷۲/۲۸	۱۹۶۸۷۴	طبس			
-۳۴/۸۸	۱۶۰۴۱۰۸	۲۴۶۳۴۷۰	-۳۷/۵۰	۱۶۲۵۲۸۲	۲۶۰۰۴۴۰	سن فرناندو			
-۵۴/۷۹	۱۱۲۸۸۸۴	۲۴۹۶۷۹۰	-۷۷/۴۵	۷۶۲۰۰/۲۱/۶	۳۳۷۹۷۵۰	نورث‌ریج			
-۵۲/۲۰	۳۰۷۵۹۷/۶	۶۴۲۴۵۸	-۴۴/۶۷	۳۴۹۲۳۹/۱	۶۳۱۱۶۴	تفت			
<hr/>									
-۶۲/۶۳	۵۴۲۲۲/۷	۱۴۵۱۰۹	-۴۵/۹۷	۵۳۷۵۲/۵۱	۹۹۴۸۳/۲	الستترو	مخزن نیمه‌پر	سن فرناندو	نورث‌ریج
-۵۳/۰۰	۱۱۲۵۰۳	۲۳۹۴۴۴	-۶۴/۶۳	۶۱۹۱۸/۶۸	۱۷۵۰۳۹	طبس			
-۵۱/۴۰	۱۴۵۴۴۷۲	۲۹۹۲۴۳۰	-۵۳/۶۶	۱۵۰۰۱۷۹	۳۲۳۷۵۰۰	سن فرناندو			
-۵۷/۵۴	۱۱۴۸۵۰۳	۲۷۰۵۰۹۰	-۹۲/۳۶	۷۴۵۲۴۱/۴	۹۷۵۹۵۴۰	نورث‌ریج			
-۶۵/۳۲	۲۷۴۹۴۵/۲	۷۹۲۸۶۳	-۵۶/۸۴	۳۱۰۳۴۶/۶	۷۱۹۱۰۴	تفت			
<hr/>									
-۳۹/۸۷	۶۲۱۲۱/۸۹	۱۰۳۲۱۶	-۴۲/۱۱	۶۳۱۵۶/۶۸	۱۰۹۰۸۵	الستترو	مخزن پر	سن فرناندو	نورث‌ریج
-۵۱/۷۸	۱۰۸۴۰/۹/۸	۲۲۴۸۴۲	-۶۴/۳۳	۷۲۷۷۲/۳۶	۲۰۳۸۸۳	طبس			
-۵۷/۱۴	۱۴۶۸۹۶۰	۳۴۲۲۴۳۰	-۵۸/۷۳	۱۴۷۵۱۲۰	۳۵۷۴۲۵۰	سن فرناندو			
-۴۵/۵۲	۱۲۳۴۸۱۷	۲۴۵۰۱۹۰	-۷۲/۶۴	۵۹۹۶۸۷/۸	۲۱۹۱۹۱۰	نورث‌ریج			
-۶۴/۷۲	۳۱۰۸۸۸/۶	۸۸۱۱۳۱	-۶۲/۹۳	۳۲۷۰۷۲/۶	۸۸۲۲۸۲	تفت			

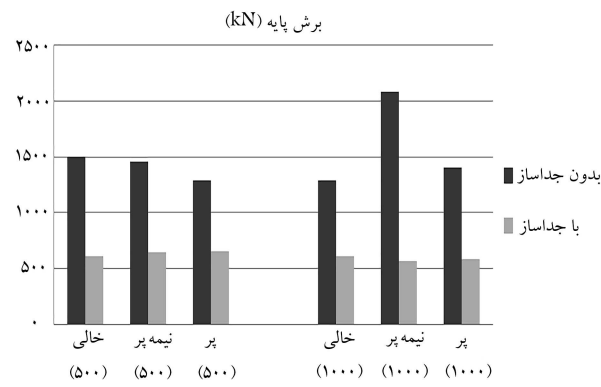
و می تواند مقداری از انرژی وارد به سازه را جذب کند؛ درنتیجه، افزایش اثر میرایی ناشی از حضور آب در مخزن در دو حالت نیمه پر و پر بمویه در مخازن بزرگتر موجب تقویت عملکرد جداساز لرزه بی در کاهش برش پایه مخازن می شود.

به منظور ارزیابی دقیق تر اثر مؤلفه های دورانی زلزله در نحوه عملکرد جداساز پایه در مخازن بتئی هواجی نتایج مربوط به تحلیل مخازن تحت تحریک مؤلفه های انتقالی ( $20^{\circ}$ ) و اثر هم زمان مؤلفه های انتقالی و دورانی زلزله های حوزه های نزدیک و دور از گسل ( $30^{\circ}$ ) به تفکیک بررسی شده است. برای مشاهده روند تغییرات اثر حضور جداساز در تش بلندر شدگی و برش پایه مخازن بتئی هواجی با و بدون اعمال مؤلفه دورانی زلزله، میانگین نتایج بدست آمده از حالت های مختلف برای زلزله های حوزه های نزدیک و دور از گسل در قالب نمودارهای ستونی در شکل های ۱۰ و ۱۱ مشاهده می شود. نتایج پژوهش حاضر نشان می دهد که در زلزله های حوزه های نزدیک بررسی شده، اعمال مؤلفه دورانی زلزله سبب کم شدن اثر کاهشی جداساز پایه در تش بلندر شدگی و برش پایه مخازن در هر ۶ حالت ممکن (دو حجم و سه حالت مخزن) شده است. با افزایش شتاب زاویه بی مؤلفه دورانی زلزله، این اثر بسیار قابل توجه شده است، به طوری که تحلیل مخزن نیمه پر با حجم  $m^3 100 \times 100 \times 100$  تحت سه مؤلفه زلزله حوزه های نزدیک نورثیریج به ترتیب کاهش ۳۴ و ۲۲ درصدی اثر مثبت جداساز در تش بلندر شدگی و برش پایه مخازن را نشان داده است. آثار جهت بذری پیش رو نه در مؤلفه افقی زلزله های حوزه های نزدیک و افزایش قابل توجه پالس ورودی در مدت زمان کم، موجب ورود سریع جداساز به فاز رفتار غیرخطی و اتلاف انرژی قابل توجه در سیستم و در نتیجه عملکرد مناسب جداساز در کاهش پاسخ مخازن می شود. اما به دلیل غیرهم فاز بودن مؤلفه دورانی زلزله با ترکیب مؤلفه های انتقالی در لحظات اولیه، که بیشینه شتاب انتقالی زلزله اتفاق می افتد، دامنه های مؤلفه های دورانی و انتقالی زلزله خلاف جهت یکدیگر هستند و اضافه شدن مؤلفه دورانی در روند تحلیل، از آثار جهت بذری پیش رو نه در افزایش ناگهانی دامنه های ورودی می کاهد. درنتیجه، اتلاف انرژی سیستم ناشی از شکل بذری زیاد و ورود سریع جداساز به فاز غیرخطی کاهش می یابد و با افزایش شتاب زاویه بی مؤلفه دورانی زلزله، اثر کاهشی جداساز پایه در پاسخ مخازن تضعیف خواهد شد. اما نزدیک بودن بسامد غالب مؤلفه های انتقالی و دورانی در زلزله های حوزه دور می تواند سبب ایجاد تشدید هم زمان شود و در نتیجه در بیشتر موارد، پاسخ سیستم تحت اثر هم زمان مؤلفه های انتقالی و دورانی زلزله های حوزه دور افزایش می یابد.<sup>[۲۷-۲۵]</sup> بنابراین با اعمال هم زمان مؤلفه دورانی در زلزله های حوزه دور استفاده و رود جداساز به فاز رفتار غیرخطی و به تبع آن اتلاف انرژی سیستم افزایش می یابد، که سبب می شود اثر مؤلفه دورانی زلزله های حوزه دور در عملکرد جداساز لرزه بی، کاملاً بر عکس زلزله های حوزه های نزدیک شود. نتایج پژوهش حاضر نیز نشان می دهد که اعمال هم زمان مؤلفه دورانی زلزله های حوزه دور بررسی شده، سبب بهبود اثر کاهشی جداساز پایه در تش بلندر شدگی و برش پایه مخازن در بیشتر حالت ها شده است. بدینه است که این اثر با افزایش شتاب مؤلفه دورانی زلزله تشدید خواهد شد، به طوری که تحلیل مخزن نیمه پر با حجم  $m^3 50 \times 50 \times 50$  تحت  $3^{\circ}$  مؤلفه زلزله حوزه دور طبیعه ترتیب موجب افزایش ۴۴ و ۴۰ درصدی اثر مثبت جداساز در تش بلندر شدگی و برش پایه مخازن شده است.

بدین ترتیب می توان نتیجه گرفت که عدم اعمال مؤلفه دورانی زلزله در تحلیل مخازن هواجی واقع در نواحی نزدیک گسل، موجب بزرگ نمایی اثر کاهشی جداساز پایه در نتایج تحلیل لرزه بی و درنتیجه طراحی ضعیف مخازن خواهد شد. بنابراین با توجه به هزینه های زیاد استفاده از جداساز و کاهش اثر آن در نواحی نزدیک گسل، استفاده از جداساز در نواحی نزدیک گسل توصیه نمی شود. در حالی که در



شکل ۸. میانگین بیشترین تش بلندر شدگی مخازن بتئی هواجی.



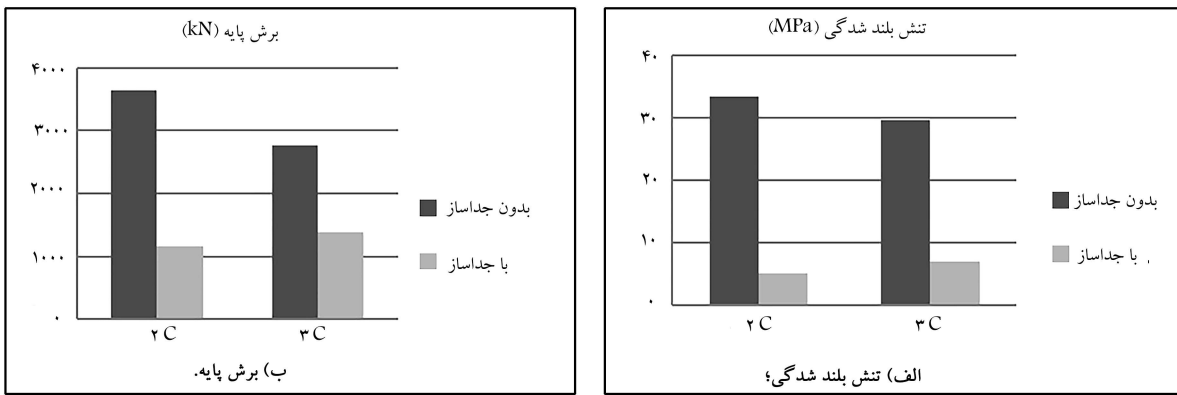
شکل ۹. میانگین بیشترین برش پایه مخازن بتئی هواجی.

کلی از اختلاف های بدون بعد مذکور، میانگین کیری شده است:

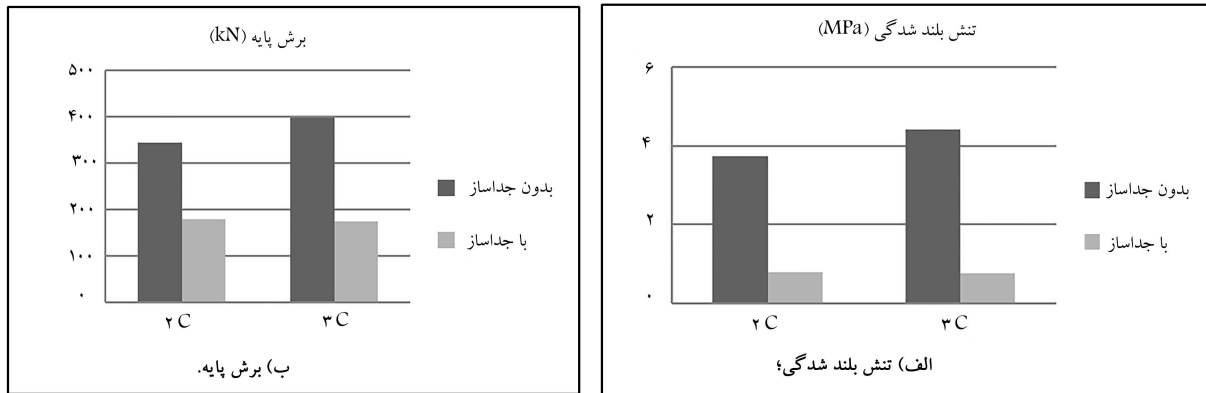
$$(10) \quad \frac{\text{نتیجه بدون حضور جداساز} - \text{نتیجه با حضور جداساز}}{\text{نتیجه بدون حضور جداساز}} \times 100\%$$

با توجه به نتایج حاصل از تحلیل دینامیکی مخازن بتئی هواجی تحت اثر هم زمان مؤلفه های انتقالی و دورانی زلزله با و بدون جداساز، این نتیجه حاصل شده است که حضور جداساز در همه حالت ها موجب کاهش قابل توجه تش بلندر شدگی مخازن شده است. به طور میانگین حضور جداساز در مخزن به حجم  $m^3 50 \times 50 \times 50$  در حالت خالی  $86\%$  در حالت نیمه پر  $69\%$  و در حالت پر  $49\%$  کاهش پاسخ را به همراه داشته است. همچنین این روند کاهشی در مخزن به حجم  $m^3 100 \times 100 \times 100$  در حالت خالی  $86\%$  در حالت نیمه پر  $63\%$  و در حالت پر  $46\%$  بوده است. بنابراین با افزایش حجم مخزن از  $m^3 50 \times 50 \times 50$  به  $m^3 100 \times 100 \times 100$  اثر حضور جداساز به ویژه در حالت مخزن پر کاهش یافته است. این اثر که به وضوح در شکل ۸ نیز قابل مشاهده است، می تواند به دلیل وزن بیشتر مخازن بزرگ تر در حالت پر و ایجاد مقاومت در برابر حرکت جانبی جداساز ایجاد شود.

در گام بعد، اثر حضور جداساز در برش پایه مخازن ارزیابی شده است. نتایج حاصل از تحلیل دینامیکی مخازن نشان می دهد که وجود جداساز پایه در تمامی حالت های بررسی شده، اثر کاهنده در برش پایه مخازن هواجی داشته است، که به ترتیب برای حالت مخزن خالی، نیمه پر، و پر در مخزن به حجم  $m^3 50 \times 50 \times 50$   $49\%$ ،  $48\%$ ،  $48\%$  و در مخزن به حجم  $m^3 100 \times 100 \times 100$   $60\%$  و  $56\%$  بوده است. همانطور که در شکل ۹ نیز مشاهده می شود، افزایش حجم مخزن از  $m^3 50 \times 50 \times 50$  به  $m^3 100 \times 100 \times 100$  موجب افزایش اثر جداساز در کاهش برش پایه مخازن در حالت نیمه پر و پر شده است. آب درون مخزن، همانند میراگر تنظیم کننده جرمی عمل می کند



شکل ۱۰. اثر مؤلفه‌ی دورانی زلزله‌های حوزه‌ی نزدیک بررسی شده در دو حالت با و بدون جداساز.



شکل ۱۱. اثر مؤلفه‌ی دورانی زلزله‌های حوزه‌ی دور بررسی شده در دو حالت با و بدون جداساز.

[۲۰ ۱۶]، [۳۲] ارائه و صحبت عملکرد آن ارزیابی شده است. مقایسه‌ی حلقه‌های هیسترزیس دو مدل اخیر، نشان‌دهنده‌ی تطابق بسیار مناسب نتیجه‌ی مدل ساده‌ی ارائه شده در پژوهش حاضر با مدل سه‌بعدی است.

-- نتایج حاصل از تحلیل دینامیکی مخازن بتی هوایی تحت اثر هم‌زمان مؤلفه‌های انتقالی و دورانی زلزله نشان می‌دهد وجود جداساز پایه در تمامی حالت‌های بررسی شده، اثر کاهنده در تنفس بلندشدنگی مخازن هوایی دارد. با افزایش حجم مخازن بهویژه در حالت مخزن پر، اثر حضور جداساز در کاهش تنفس بلندشدنگی مخازن کتر شده است که می‌تواند به دلیل افزایش بار نقلی و ایجاد مقاومت در برابر حرکت جانبی جداساز باشد.

-- همچنین حضور جداساز در همه‌ی حالت‌های بررسی شده، موجب کاهش قابل توجه برش پایه‌ی مخازن هوایی شده است. افزایش میرایی ناشی از حضور سیال در دو حالت نیمه‌پر و پر بهویژه در مخازن بزرگ‌تر، نیز سبب بهبود عملکرد جداساز لرزه‌یی در کاهش برش پایه‌ی مخازن هوایی شده است.

-- اثر مؤلفه‌ی دورانی زلزله در عملکرد جداساز پایه در مخازن بتی هوایی در مناطق دور و نزدیک گسل به طور دقیق ترازیابی شد و نتایج حاصل از تحلیل نشان داد که اعمال مؤلفه‌ی دورانی زلزله در تحلیل مخازن هوایی واقع در نواحی دور از گسل، سبب بهبود عملکرد جداساز پایه در کاهش پاسخ‌های لرزه‌یی مخازن شده است. در نواحی نزدیک گسل، روند بر عکس بوده و با افزایش شتاب زاویه‌یی مؤلفه دورانی زلزله، اثر کاهشی جداساز پایه در تنفس بلندشدنگی و برش پایه‌ی مخازن تضعیف شده است.

نواحی دور از گسل، عدم اعمال مؤلفه‌ی دورانی زلزله در روند تحلیل مخازن، اثر مثبت جداساز در کاهش پاسخ‌های لرزه‌یی را تضعیف می‌کند و موجب یک طراحی غیر اقتصادی برای مخازن هوایی خواهد شد.

#### ۴. نتیجه‌گیری

در پژوهش حاضر، اثر حضور جداساز پایه در پاسخ لرزه‌یی مخازن بتی هوایی با شافت مرکزی تحت تحریک هم‌زمان مؤلفه‌های انتقالی و دورانی زلزله‌های حوزه‌های نزدیک و دور از گسل با استفاده از تحلیل مختلط زلزله با شرایط است. برای تعیین پاسخ لرزه‌یی مخازن نگاشت مختلف زلزله با شرایط دوری یا نزدیکی از گسل استفاده شده است. سپس با استفاده از هم‌زمان از روابط کلاسیک تئوری کشسانی و تئوری انتشار امواج و با درنظر گرفتن سرعت امواج وابسته به سیال [۱۲] و کدنویسی در نرم‌افزار متلب (۲۰ ۱۰)، مؤلفه‌ی دورانی حرکت زمین برای هر زوج انتقالی شتاب نگاشت تولید شده است. جهت انجام یک مطالعه‌ی پارامتریک، مخازن با دو حجم ذخیره‌ی ۵۰۰ و ۱۰۰۰ m<sup>3</sup> در سه وضعیت خالی، نیمه‌پر، و پر، یکپار بدون حضور جداساز و بار دیگر با حضور جداساز پایه در نرم‌افزار انسیس (۲۰ ۱۲) مدل‌سازی و تحلیل شده‌اند. خلاصه‌یی از نتایج بدست‌آمده به این شرح است:

-- برای مدل‌سازی جداساز پایه در پژوهش حاضر، مدل معادل میله و فنر ساده‌شده بی با توجه به وزن و ابعاد مقطع پایه، براساس مدل سه‌بعدی مسلمی و کیانوش

سازه شده است. همچنین به دلیل هزینه‌ی بالای جداسازی پایه و کاهش اثر آن با افزایش شتاب زاویه‌یی مؤلفه‌ی دورانی، به نظر می‌رسد استفاده از آن در نواحی نزدیک گسل توجیه اقتصادی نخواهد داشت.

-- با توجه به نتایج حاصل از بررسی اثر مؤلفه‌ی دورانی زلزله در عملکرد جداساز عدم اعمال مؤلفه‌ی دورانی در تحلیل مخازن هوایی واقع در نواحی نزدیک گسل، موجب بزرگ‌نمایی اثر کاهشی جداساز پایه در نتایج و درنتیجه طراحی ضعیف

## پانوشت‌ها

1. Geodetic
2. Dogangun
3. Kalani
4. Kelly
5. Shenton
6. Hampton
7. Shirmali
8. Jangid
9. ANSYS
10. MATLAB
11. Kalab

## منابع (References)

1. Guideline for Design and Practice of Base Isolation Systems in Buildings, No. 523, Vice Presidency for Strategic Planning and Supervision, Islamic Republic of Iran (in Persian) (2010).
2. Naeim, F. "Design of seismic isolated structures: from theory to practice", John Wiley & Sons (1999).
3. Newmark, N.M. "Torsion in symmetrical buildings", *Proceeding of the 4th World Conference on Earthquake Engineering*, Santiago, Chile, A3, pp. 19-23 (1969).
4. Ghafory-Ashtiani, M. and Singh, M.P. "Structural response for six correlated earthquake components", *Journal of Earthquake Engineering and Structural Dynamics*, **14**(1), pp. 103-119 (1986).
5. Huang, B.S. "Ground rotational motions of the 1999 Chi Chi, Taiwan earthquake as inferred from dense array observations", *Geophysical Research Letters*, **30**(6), pp. 1307-1310 (2003).
6. Ghayamghamian, M.R. and Nouri, G.R. "On the characteristics of ground motion rotational components using Chiba dense array data", *Earthquake Engineering and Structural Dynamics*, **36**(10), pp. 1407-1442 (2007).
7. Spudich, P., Steck, L.K., Hellweg, M. and et al. "Transient stresses at Parkfield, California, produced by the M 7.4 Landers earthquake of June 28, 1992: Observations from the UPSAR dense seismograph array", *Journal of Geophysical Research*, **100**(B1), pp. 675-690 (1995).
8. Ghayamghamian, M.R., Nouri, G.H.R. and Hasemifarid, M. "A comparison among different methods in the evaluation of torsional ground motion", *Journal of Iran Geophysics*, **4**(2), pp. 32-44 (2010).
9. Trifunac, M.D. "A note on rotational components of earthquake motions on ground surface for incident body waves", *Soil Dynamic and Earthquake Engineering*, **1**(1), pp. 11-19 (1982).
10. Lee, V.W. and Trifunac, M.D. "Rocking strong earthquake accelerations", *Soil Dynamic and Earthquake Engineering*, **6**(2), pp. 75-89 (1987).
11. Lee, V.W. and Liang, L. "Rotational components of strong motion earthquakes", *14th World Conference on Earthquake Engineering*, Beijing, China (2008).
12. Li, H.N., Sun, L.Y. and Wang, S.Y., "Improved approach for obtaining rotational components of seismic motion", *Nuclear Engineering and Design*, **232**(2), pp. 131-137 (2004).
13. Housner, G.W. "Dynamic pressure on accelerated fluid containers", *Bulletin of the seismological society of America*, **47**(1), pp. 15-35 (1963).
14. Dogangun, A. and Livaoglu, R. "A comparative study of the seismic analysis of rectangular tanks according to different codes", *14th World Conference on Earthquake Engineering*, Beijing, China (2008).
15. Dutta, S.C. "Seismic torsional behaviour of elevated tanks for improved code provisions: elastic behaviour", *Journal of the Institution of Engineers, India, Civil Engineering Division*, **80**(FEV), pp. 169-181 (2000).
16. Clough, R.W., Clough, D.P. and Niwa, A. "Experimental seismic study of cylindrical tanks", *Journal of the Structural Division*, **105**(12), pp. 2565-2590 (1979).
17. Omidinasab, F. and Shakib, H. "Seismic response evaluation of the RC elevated water tank with fluid-structure interaction and earthquake ensemble", *KSCE Journal of Civil Engineering*, **16**(3), pp. 366-376 (2012).
18. Kazemi, T. and Turang, Z. "Study on seismic performance of elevated concrete tanks with cylindrical base and moment frame", *4th National Congress of Civil Engineering*, Tehran University (in Persian) (2008).
19. Shakib, H., Omidinasab, F. and Ahmadi, M.T. "Seismic demand evaluation of elevated reinforced concrete water tanks", *International Journal of Civil Engineering*, **8**(3), pp. 204-220 (2010).
20. Jabar, A.M. and Patel, H.S. "Seismic behaviour of RC elevated water tank under different staging pattern and earthquake characteristics", *International journal of advanced Engineering Research and Studies (IJAERS)*, ISSN: 2249-8974, **1**, pp. 293-296 (2012).
21. Khoubani, M., Hashemi, Sh. and Alipour, A. "Dynamic analysis of concrete rectangular tanks considering the effect of soil-structure-fluid interaction", *Journal of Structural and Construction Engineering (JSCE)*, **5**(1), pp. 189-209 (2018).

22. Lakhade, S.O. and Kumar, R. "Damage states of yielding and collapse for elevated water tanks supported on RC frame staging", *Structural Engineering and Mechanics*, **67**(6), pp. 587-601 (2018).
23. Masoudi, M., Eshghi, S. and Ghafory-Ashtiani, M. "Evaluation of response modification factor (R) of elevated concrete tanks", *Engineering Structures*, **39**, pp. 199-209 (2012).
24. Asgari, M.H., Khodakarami, M.I. and Vahdani, R. "The effect of topographic irregularities on seismic response of the concrete rectangular liquid storage tanks incorporating soil-structure-liquid interaction", *Iranian Journal of Science and Technology, Transactions of Civil Engineering*, **33**, pp. 1-19 (2019).
25. Kalani Sarokolayi, L. and Navayi Neya, B., "Evaluation of modification factor for concrete cylindrical tanks using pushover analysis", *Journal of Civil Engineering, Ferdowsi University of Mashhad*, **23**(2), pp. 53-70 (in Persian) (2012).
26. Kalani Sarokolayi, L., Navayi Neya, B., Tavakoli, H.R. and et al. "Dynamic analysis of elevated water storage Tanks due to Ground Motions' Rotational translational components", *Arabian Journal for Science and Engineering*, **39**, pp. 4391-4403 (2014).
27. Kalani Sarokolayi, L., Navayi Neya, B., Vaseghi Amiri, J. and et al. "Seismic analysis of elevated water storage tanks subjected to six correlated ground motion components", ISSN: 2079-2115 (2013).
28. Kelly, J.M. "Earthquake-resistant design with rubber", London, Springer-Verlag (1997).
29. Kim, N.S. and Lee, D.G. "Pseudo-dynamic test for evaluation of seismic performance of base-isolated liquid storage tanks", *Engineering Structures*, **17**(3), pp. 198-208 (1995).
30. Shenton, III H.W. and Hampton F.P. "Seismic response of isolated elevated water tanks", *ASCE Journal of Structural Engineering*, **125**(9), pp. 965-976 (1999).
31. Shirmali M.K. and Jangid, R.S. "The seismic response of elevated liquid storage tanks isolated by lead-rubber bearings", *Bull. NZ Soc. Earthquake Eng.*, pp. 41-64 (2003).
32. Moslemi, M. and Kianoush, M.R. "Application of seismic isolation technique to partially filled conical elevated tanks", *Engineering Structures*, **127**, pp. 663-675 (2016).
33. Kalani Sarokolayi, L. "Nonlinear dynamic analysis of concrete gravity dams under spatially varying and rotational earthquake", Phd thesis, Babol Noshirvani University of Technology (in Persian) (2013).
34. Kalab, Z. and Knejzlik, J. "Examples of rotational component records of mining induced seismic events from the Karvina region", *ACTA Geodynamica et Geometria*, **9**(2), pp. 173-178 (2012).
35. Pacific Earthquake Engineering Research Center., <https://peer.berkeley.edu>.